

全品



教辅图书



功能学具



学生之家

基础教育行业专研品牌

30⁺年创始人专注教育行业

特色专项

AI智慧教辅

小题快练+大题攻关

北京
专版

地理

本书为AI智慧教辅

“讲题智能体”支持学生聊着学，扫码后哪题不会选哪题；随时随地想聊就聊，想问就问。



CONTENTS 目录

第一部分 小题快练

限时标准练 1	专 001 / 答 081	限时标准练 11	专 031 / 答 092
限时标准练 2	专 004 / 答 082	限时标准练 12	专 034 / 答 093
限时标准练 3	专 007 / 答 083	限时标准练 13	专 037 / 答 094
限时标准练 4	专 010 / 答 084	限时标准练 14	专 040 / 答 095
限时标准练 5	专 013 / 答 085	限时标准练 15	专 043 / 答 096
限时标准练 6	专 016 / 答 086	限时标准练 16	专 046 / 答 097
限时标准练 7	专 019 / 答 087	限时标准练 17	专 049 / 答 099
限时标准练 8	专 022 / 答 088	限时标准练 18	专 052 / 答 100
限时标准练 9	专 025 / 答 089	限时标准练 19	专 055 / 答 101
限时标准练 10	专 028 / 答 090	限时标准练 20	专 058 / 答 102

第二部分 大题攻关

每日一题练 1	专 061 / 答 103	每日一题练 11	专 071 / 答 107
每日一题练 2	专 062 / 答 104	每日一题练 12	专 072 / 答 107
每日一题练 3	专 063 / 答 104	每日一题练 13	专 073 / 答 107
每日一题练 4	专 064 / 答 104	每日一题练 14	专 074 / 答 108
每日一题练 5	专 065 / 答 105	每日一题练 15	专 075 / 答 108
每日一题练 6	专 066 / 答 105	每日一题练 16	专 076 / 答 109
每日一题练 7	专 067 / 答 105	每日一题练 17	专 077 / 答 109
每日一题练 8	专 068 / 答 106	每日一题练 18	专 078 / 答 109
每日一题练 9	专 069 / 答 106	每日一题练 19	专 079 / 答 110
每日一题练 10	专 070 / 答 106	每日一题练 20	专 080 / 答 110

第一部分 小题快练

限时标准练 1

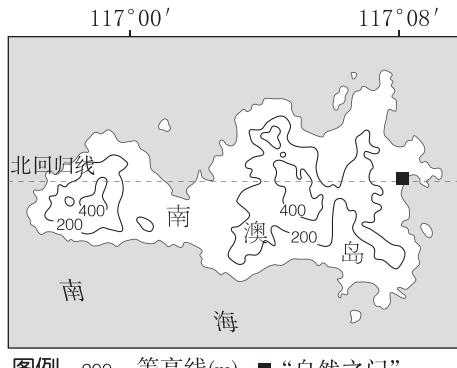
时间:30分钟 分值:45分

[2025·北京朝阳区一模] 2025年2月7—14日,第九届亚洲冬季运动会在我国哈尔滨市举办。哈尔滨着力打造冰雪经济新亮点,让“冷资源”释放“热能量”。下表为历届亚冬会举办地信息表。读表,完成1~3题。

举办年份	1986年、1990年、2017年	1996年、2025年	1999年
举办地	日本 札幌(43°N,141°E)	中国 哈尔滨(46°N,127°E)	韩国 江原道(37°N,128°E)
举办年份	2003年	2007年	2011年
举办地	日本 青森(41°N,141°E)	中国 长春(44°N,125°E)	哈萨克斯坦 阿斯塔纳(51°N,71°E) 阿拉木图(43°N,77°E)

1. 历届亚冬会举办地均 ()
A. 位于东亚
B. 属于季风气候
C. 位于板块边界
D. 属于北温带
2. 第九届亚冬会举办期间 ()
A. 地球的公转速度逐渐加快
B. 哈尔滨正午太阳高度逐渐减小
C. 处于立春至雨水节气之间
D. 亚洲各地的白昼时间逐渐变长
3. 哈尔滨依托亚冬会利用冰雪资源打造经济新亮点,主要依赖 ()
A. 优越的地理位置
B. 雄厚的工业基础
C. 高素质的劳动力
D. 优质的旅游服务

[2024·北京东城区一模] 位于广东省汕头市的南澳岛海岸多为岩石陡岸,岛上的“自然之门”是我国北回归线标志塔之一。图甲为南澳岛示意图,图乙为“自然之门”景观图。读图,完成4~5题。



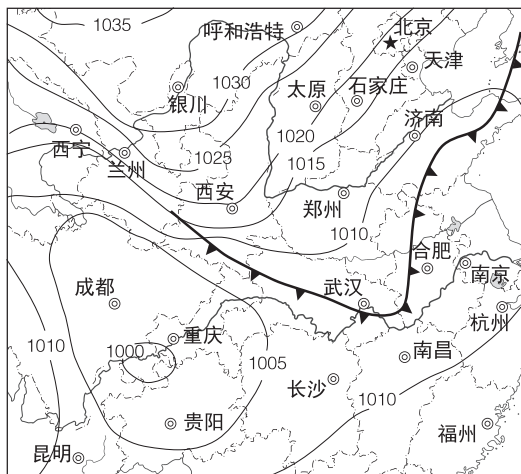
甲



乙

4. 南澳岛 ()
A. 纬度低,正午太阳位于正南方
B. 年降水总量大,季节分配均匀
C. 河流众多,内河航运比较发达
D. 以低山丘陵为主,海岸地貌发育
5. 图乙所示时刻大约为 ()
A. 4时
B. 10时
C. 14时
D. 16时

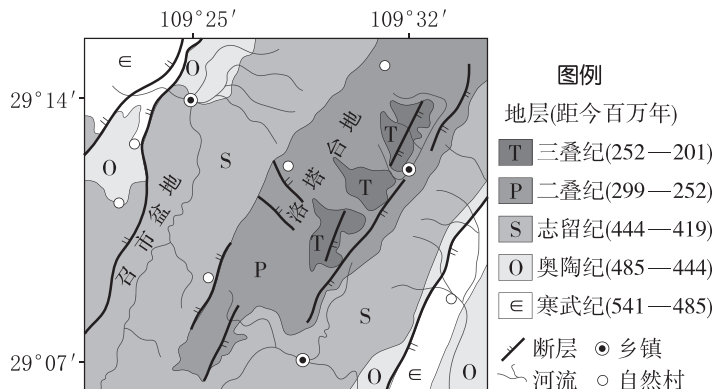
[2024·北京朝阳区一模] 下图为2024年2月18日20时我国部分地区海平面气压分布图。读图,完成6~7题。



图例 ▲ 冷锋 ~1010~ 等压线(hPa)

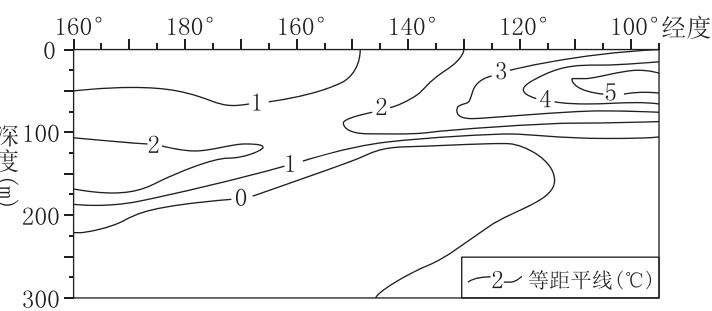
6. 在该天气形势下,最可能出现的是 ()
- A. 银川的风力较兰州大
 - B. 重庆出现狂风暴雨
 - C. 武汉有雨雪天气过程
 - D. 西安盛行上升气流
7. 该天气形势造成的主要影响是 ()
- A. 华北气温降低,导致春播推迟
 - B. 南方冻雨、冰冻造成春运不畅
 - C. 西南沙尘天气降低大气质量
 - D. 中东部人体健康风险指数降低

[2024·北京海淀区一模] 下图为湘西某地平面地质图。读图,完成8~10题。

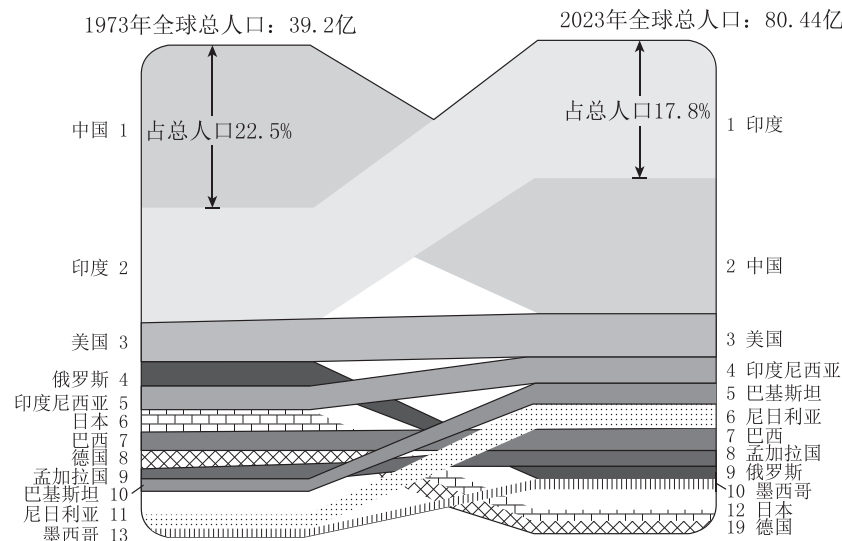


8. 洛塔台地最可能是 ()
- A. 背斜山
 - B. 背斜谷
 - C. 向斜山
 - D. 向斜谷
9. 洛塔台地发育有溶沟、石林、溶洞等地貌景观,其形成的主要影响因素是 ()
- ①气候
 - ②植被
 - ③岩石类型
 - ④人类活动
- A. ①②
 - B. ③④
 - C. ②④
 - D. ①③
10. 该区域地表水资源短缺,主要原因是 ()
- A. 降水量小
 - B. 蒸发量大
 - C. 下渗量大
 - D. 河流流量小

11. [2024·北京东城区二模] 右图为2023年5月中旬赤道太平洋部分海区水温垂直距平图(正值表示水温偏高)。据图推测,下列说法正确的是 ()
- A. 秘鲁沿岸渔业产量增加
 - B. 澳大利亚山火风险增加
 - C. 海水增温幅度与深度呈正相关
 - D. 东南信风势力不断增强



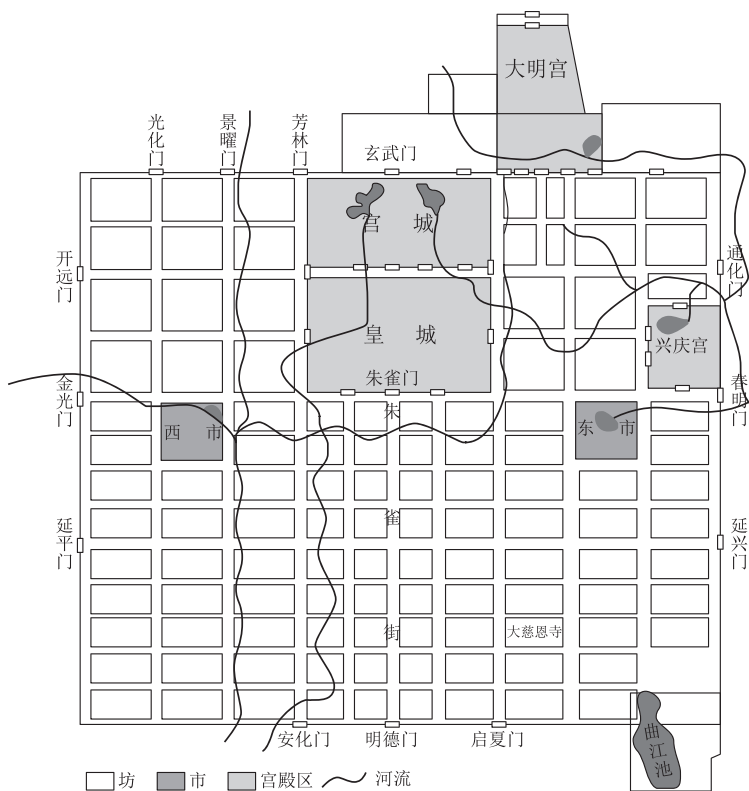
[2024·北京西城区一模] 联合国人口基金在《2023年世界人口状况报告》中公布了世界人口数量的初步统计数据。下图示意1973年和2023年世界十大人口国排名变化。读图,完成12~13题。



12. 2023年,人口数量前十位的国家 ()

- A. 各大洲均有分布
 - B. 大多数位于西半球
 - C. 多为发展中国家
 - D. 人口迁入大于迁出
13. 与1973年相比,2023年 ()
- A. 人口分布格局因气候改变
 - B. 美国资源消费量保持不变
 - C. 日本和德国生态退化严重
 - D. 中国和巴西人口密度增加

[2024·北京海淀区二模] 下图为唐长安城内部空间结构示意图。读图,完成14~15题。



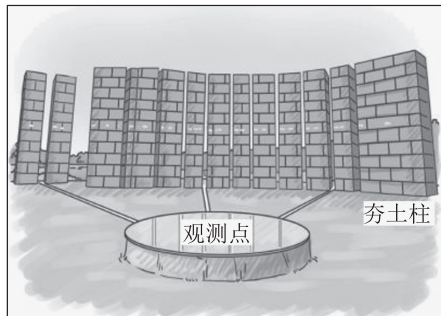
14. 唐长安城城市规划的主要特点是 ()

- A. 体现开放特征,拓展公共活动空间
 - B. 注重景观设计,突出城市山水风光
 - C. 商业区占地广,提升城市经济活力
 - D. 功能分区明显,呈现东西对称格局
15. 据图推断,唐长安城中,坊的主要功能是 ()
- A. 商业贸易
 - B. 居住生活
 - C. 道路通行
 - D. 手工业制造

限时标准练 2

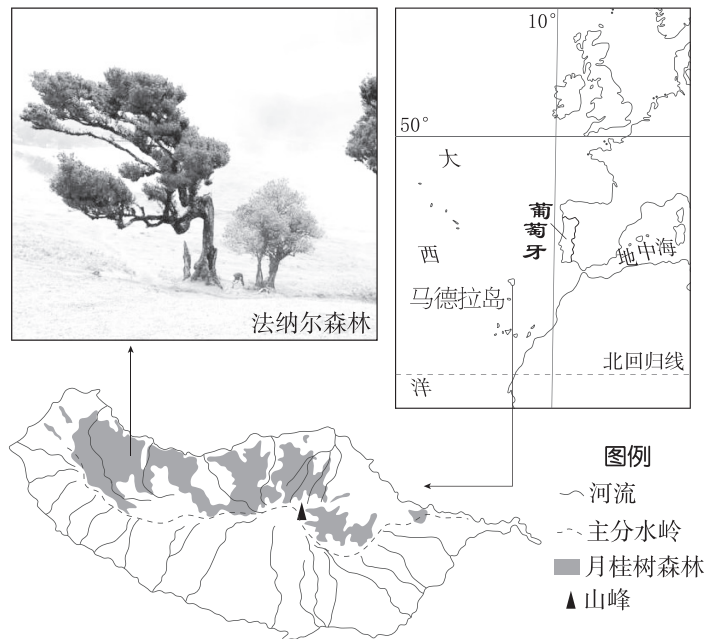
时间:30分钟 分值:45分

[2024·北京海淀区一模] 陶寺观象台位于山西省临汾市(36°N,111°E),是迄今为止我国发现最早的精密天文观测遗迹。观象台主体是一组扇形排列的夯土柱,柱间留有观测缝隙。在一些特定的日子,站在圆心位置的观测点上,会看到日出时光线从某个对应的缝隙中间穿过,以此来确定节气。下图为观象台主体复原示意图。读图,完成1~2题。



1. 该观象台确定节气主要是根据 ()
A. 土柱影长 B. 日出方位 C. 太阳高度 D. 日出时刻
2. 若在长沙(28°N,113°E)模拟建设该观象台,则观测时间推后的节气最可能是 ()
A. 春分 B. 夏至 C. 秋分 D. 冬至

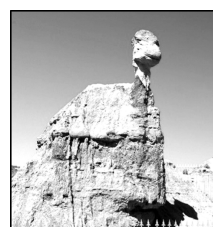
[2024·北京西城区一模] 葡萄牙马德拉岛因岩浆活动形成,岛上的月桂树森林因年代久、分布广而著名。法纳尔森林被称为“迷雾森林”,备受游客青睐。下图为马德拉岛位置、月桂树森林分布及景观图。读图,完成3~5题。



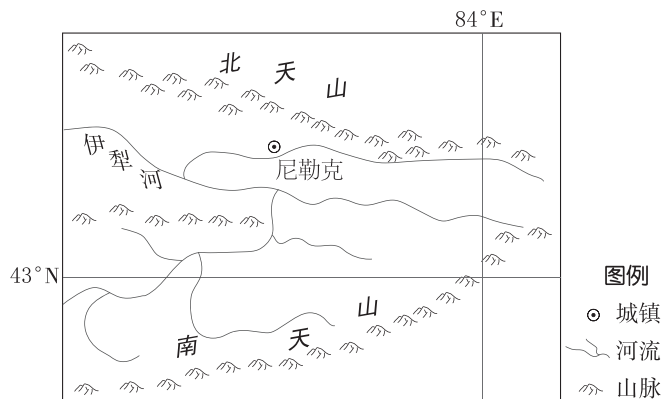
3. 马德拉岛 ()
A. 地处亚欧板块内部
B. 地势北部高、南部低
C. 河流数量多,流域面积小
D. 风沙地貌分布广泛
4. “迷雾森林”中的 ()
A. 迷雾因暖流的增湿作用形成
B. 森林主要为落叶阔叶林
C. 迷雾多发在海拔较高的山地
D. 森林有显著的垂直结构
5. 去往该岛旅游容易遭遇 ()
A. 频繁寒潮带来的剧烈降温
B. 风急浪高造成的离岛困难
C. 磁暴导致的长波通信中断
D. 超强飓风引发的大型海啸

6. [2024·北京东城区二模] 下图是某同学暑假在甘肃省西部某地区旅游时拍摄的砂砾岩景观——“神驼迎宾”。“神驼迎宾”景观形成的地质过程最可能是 ()

- A. 岩浆侵入—冷却凝固—地壳上升—外力作用
- B. 断层发育—变质作用—地壳上升—风力侵蚀
- C. 外力沉积—压实、固结—地壳上升—外力侵蚀
- D. 板块挤压—岩浆喷出—变质作用—压实、固结



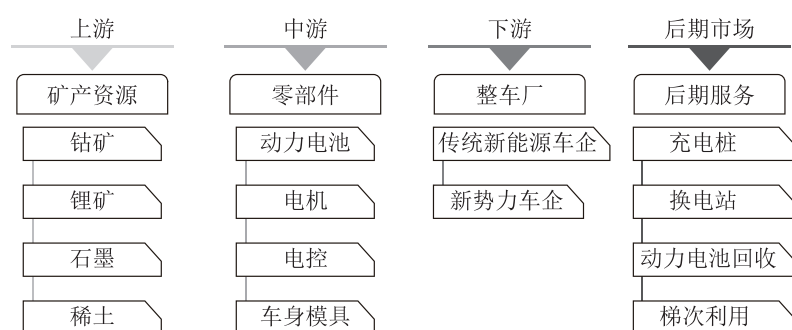
[2024·北京朝阳区一模] 三文鱼适宜生长在清澈的冷水环境中。新疆尼勒克县是我国最适合养殖三文鱼的地区之一,该地三文鱼采用低密度环保网箱养殖,生产的三文鱼口感鲜香、甜美,畅销国内外。下图为尼勒克县位置示意图。读图,完成7~8题。



7. 尼勒克县生产高品质三文鱼的自然条件有 ()

- ①位于迎风坡,降水较多
 - ②水源为冰川融水,纯净冷凉
 - ③靠近河流上游,水质好
 - ④采用低密度环保网箱养殖
- A. ①② B. ①④ C. ②③ D. ③④
8. 尼勒克县三文鱼主要销往北京、上海、广州等城市,是因为这些城市 ()
- A. 人口规模大
 - B. 市场需求大
 - C. 距离产地近
 - D. 交通更便利

[2024·北京朝阳区一模] 2020年国务院办公厅印发《新能源汽车产业发展规划(2021—2035年)》,要求深入实施发展新能源汽车国家战略。2023年我国新能源汽车产量(主要是电动汽车)达944.3万辆,比上年增长30.3%,全年出口约120万辆。下图为中国新能源汽车产业链构成图。读图,完成9~11题。



9. 我国实施发展新能源汽车国家战略的主要目的有 ()

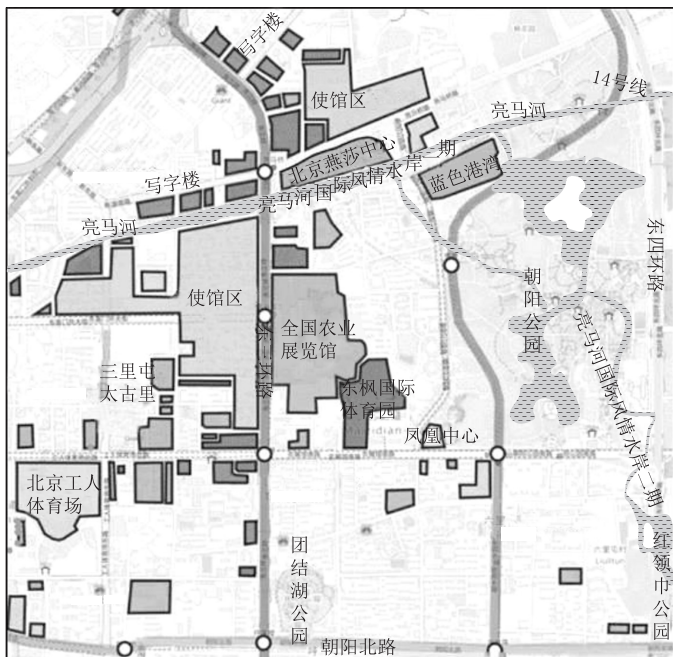
- ①促进产业升级和带动经济发展
 - ②实现汽车产业国际地位的“弯道超车”
 - ③减少二氧化碳排放和环境污染
 - ④控制城市汽车保有量,减少交通拥堵
- A. ①②③ B. ①②④ C. ①③④ D. ②③④
10. 生产新能源汽车电池的重要原料是锂辉石,我国是锂电池最大生产国,而70%的锂辉石依赖进口,澳大利亚、智利是锂辉石主要出口国。对此我国当前的主要对策应当是 ()
- A. 加大开采和储备锂辉石
 - B. 转向生产天然气动力汽车
 - C. 与出口国合作发展电池产业
 - D. 回收、修补和使用废旧电池

11. 新能源汽车充电桩

()

- A. 布置的密度应小于加油站
- B. 商业区安装密度较工业区高
- C. 应集中布局在水电站附近
- D. 位置可借助遥感技术搜索导航

[2024·北京朝阳区二模] 2024年3月16日北京亮马河“醒春”游船首航。近年来,北京市朝阳区打造了80万平方米的亮马河国际风情水岸,实现18千米航线通航,航线途经燕莎、蓝色港湾、红领巾公园等处。下图为亮马河国际风情水岸位置示意图。读图,完成12~13题。



12. 亮马河国际风情水岸一期

()

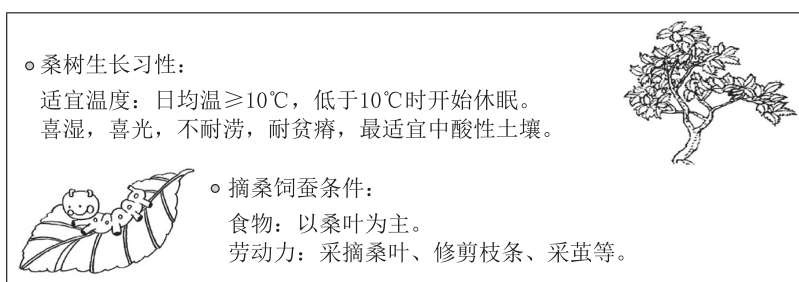
- A. 位于城市的居住区
- B. 两侧分布有使馆区
- C. 冬季停止文旅活动
- D. 河水的含沙量较高

13. 亮马河“醒春”游船首航日

()

- A. 正值立春
- B. 北京正午太阳高度较郑州高
- C. 18时左右可欣赏亮马河夕阳
- D. 正午时游客宜向纽约朋友直播

[2024·北京东城区二模] 种桑养蚕是我国江浙地区的传统农业。20世纪90年代以来,广西把握国家实施“东桑西移”的机遇,桑蚕产业迅速发展,助推多个县脱贫致富。2023年,广西蚕茧产量超过46万吨,约占全国总产量的60%。下图示意桑树生长习性和摘桑饲蚕条件。读图,完成14~15题。



14. 20世纪90年代“东桑西移”的主要原因是

()

- A. 江浙地区热量条件不足
- B. 江浙地区城镇化水平提高
- C. 广西劳动力素质比较高
- D. 广西基础设施更加完善

15. 种桑养蚕对广西可持续发展的积极影响有

()

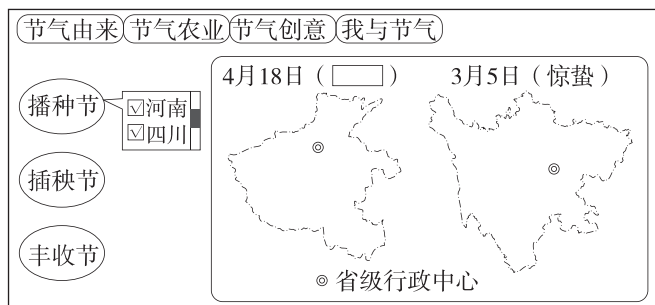
- ①桑林涵养水源,减少了水土流失
- ②带动相关产业发展,增加就业机会
- ③利用了清洁能源,改善能源结构
- ④增加了生物多样性,减少环境污染

- A. ①②
- B. ③④
- C. ①③
- D. ②④

限时标准练 3

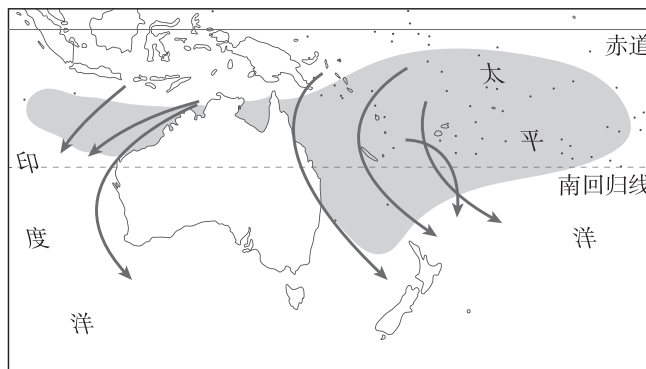
时间:30分钟 分值:45分

[2025·北京通州区一模]为了解农耕文化的内涵和价值,河南郑州某校开展“慧植天地”跨学科主题学习活动,同学们展示了有关二十四节气的作品。下图是学生设计制作的有关郑州、成都两地播种节的网页截图。读图,完成1~2题。



1. 郑州举办播种节最接近的节气是 ()
A. 立春 B. 雨水 C. 谷雨 D. 芒种
2. 两地举办播种节的时间不同,是因为与郑州相比,成都 ()
A. 位于地势第三级阶梯,海拔低
B. 正午太阳高度大,热量足
C. 受夏季风影响时间长,降水丰富
D. 白昼时间长,光合作用强

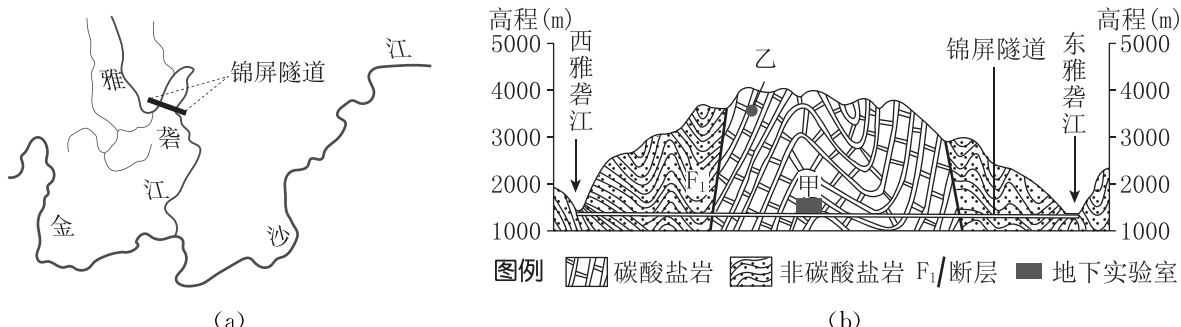
[2024·北京西城区二模]热带气旋生成于温暖的洋面上。下图显示了影响澳大利亚气旋的相关信息。读图,完成3~4题。



图例 ■ 热带气旋生成区 → 热带气旋主要路径

3. 图示区域,热带气旋 ()
A. 每年12月至次年2月多发
B. 能量主要来自太平洋西北部
C. 主要影响澳大利亚东南沿海
D. 移动路径主要受洋流的影响
4. 准确预测热带气旋,可以 ()
①通过遥感卫星监测气旋实时位置 ②通过导航系统追踪气旋移动方向 ③控制和减少人员伤亡、财产损失 ④抵御强风及风暴潮对海岸的侵袭
A. ①③ B. ①④ C. ②③ D. ②④

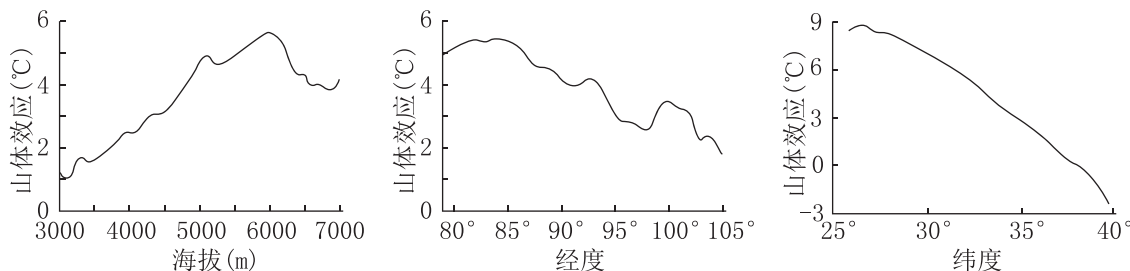
[2024·北京朝阳区一模]2023年12月7日,世界最深、最大的极深地下实验室——锦屏地下实验室二期正式投入运行,该实验室在锦屏隧道中侧向开挖而成,力求打造极致“纯净”的特殊环境,为我国开展暗物质探测奠定了良好基础。图(a)为锦屏隧道位置示意图,图(b)为锦屏山地质构造示意图。读图,完成5~7题。



5. 雅砻江流域

- A. 主要位于云南省
 - B. 水能资源丰富
 - C. 植被以热带雨林为主
 - D. 属于非季风气候区
6. 锦屏地下实验室
- A. 位于海平面以下
 - B. 可通过竖井电梯进入
 - C. 位于上地幔顶部
 - D. 受宇宙射线影响极小
7. 锦屏山
- A. 地层和地质构造形成先后是甲—F₁—乙
 - B. 东雅砻江河谷在背斜上
 - C. 处于地层较稳定、地震较少的地区
 - D. 乙地层的岩石为花岗岩

[2025·北京东城区一模] 山体效应是指大型山地(高原)内部气温高于外围同海拔大气温度的现象。山体效应常用山体内外同海拔区域的温差表示。下图为青藏高原山体效应的估算值随海拔、经度和纬度变化图。读图完成8~9题。

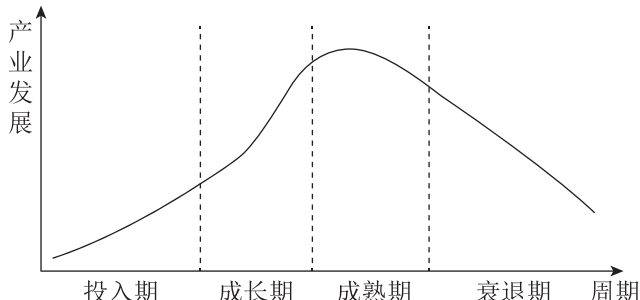


8. 青藏高原山体效应

- A. 随海拔升高而减弱
 - B. 强度与各地的降水量呈正相关
 - C. 自东向西逐渐减弱
 - D. 空间差异受太阳辐射影响显著
9. 推测青藏高原山体效应较强的地区为

- A. 昆仑山脉
- B. 柴达木盆地
- C. 三江源地区
- D. 喜马拉雅山脉

[2024·北京西城区一模] 工业和信息化部数据显示,2023年我国造船完工量、新接订单量分别占全球总量的50.2%、66.6%,同比增长11.8%和56.4%,高端船型的市场份额占27.2%。下图为世界造船产业生命周期示意图。读图,完成10~11题。



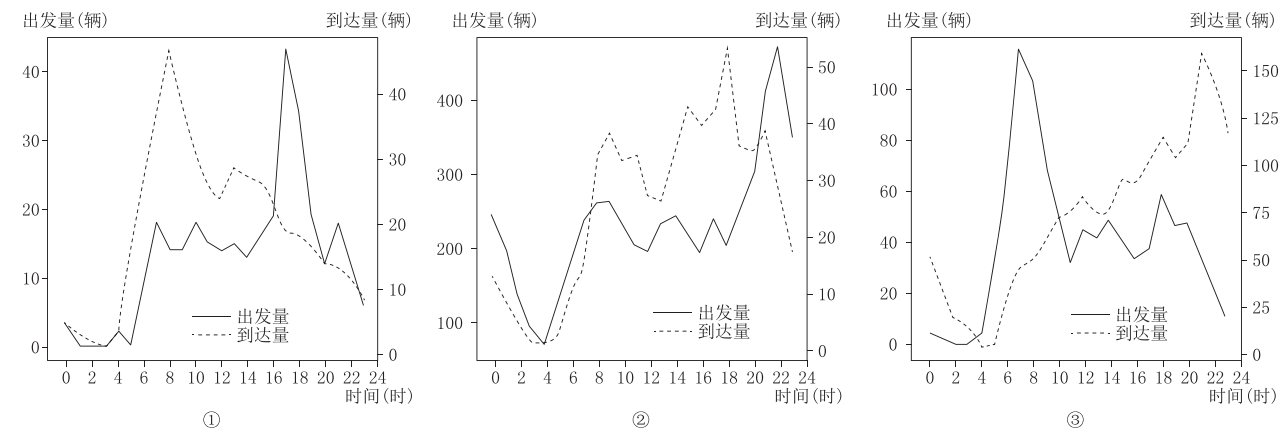
10. 目前,我国造船业处于 ()

A. 投入期 B. 成长期 C. 成熟期 D. 衰退期 ()

11. 我国造船完工量、新接订单量的增长源于 ()

A. 临海位置优势 B. 矿产资源丰富
C. 劳动力成本低 D. 技术不断进步 ()

[2024·北京东城区一模] 出租车需求与人类活动有着密切的关系。下图为我国某市不同区域出租车信息统计图。读图,完成12~13题。



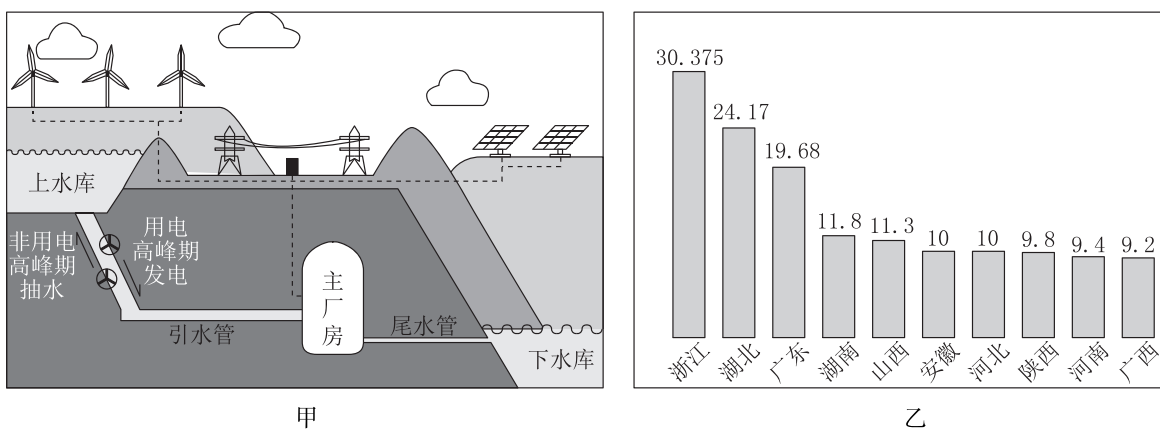
12. 该市各区域出租车 ()

A. 出行总量大致相当 B. 出发的时间集中在上午
C. 2—4时出发和到达量较少 D. 出发量和到达量有一致性 ()

13. ①②③所属功能区分别是 ()

A. 居住区、工业区、商业区 B. 工业区、商业区、居住区
C. 商业区、居住区、工业区 D. 工业区、居住区、商业区 ()

[2024·北京西城区二模] 抽水储能电站将太阳能等间歇性新能源在非用电高峰期产生的电力储存起来,以保障电力供给稳定。目前我国已建成一批具有世界先进水平的抽水储能电站。图甲为抽水储能电站工作原理示意图,图乙为2022年我国抽水储能项目规模前十位省级行政区图(单位:百万千瓦)。读图,完成14~15题。



14. 影响抽水储能电站建设的主要区位条件是 ()

A. 水能丰富 B. 市场需求
C. 交通便利 D. 技术创新 ()

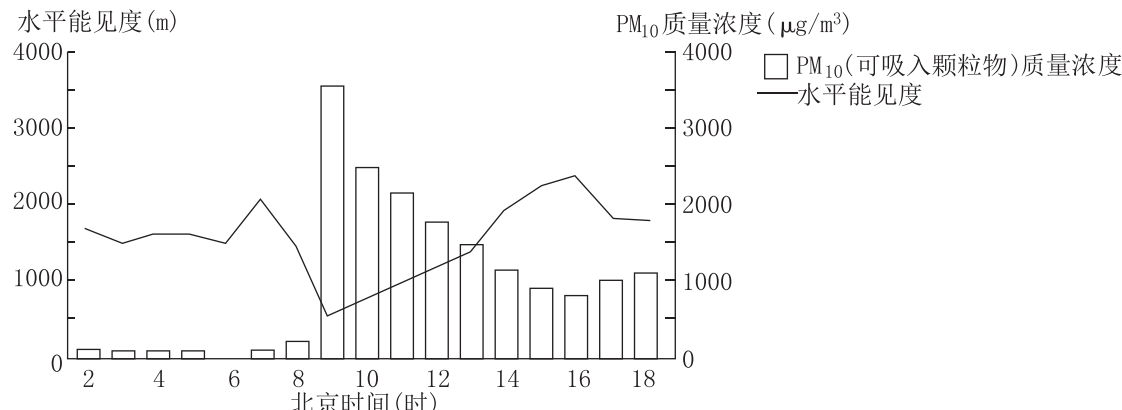
15. 抽水储能电站可以 ()

①提高水资源的灌溉效益 ②减轻用电高峰期供电压力 ③改变能源供需空间格局 ④促进能源消费结构清洁化
A. ①②③ B. ①②④ C. ①③④ D. ②③④ ()

限时标准练 4

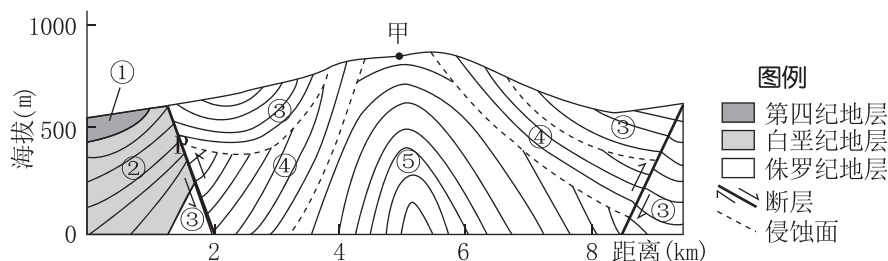
时间:30分钟 分值:45分

[2025·北京海淀区一模] 下图示意华北地区某气象站某年3月记录的一次天气过程相关数据。读图,完成1~2题。



1. 推测7—9时水平能见度下降的主要原因是 ()
- A. 气温升高 B. 湿度增大 C. 风力增大 D. 对流加强
2. 针对该天气过程的生活提示是 ()
- A. 外出携带雨伞 B. 出行佩戴口罩 C. 适宜清洗车辆 D. 穿着轻薄衣物

[2025·北京朝阳区一模] 下图为我国某地区的地质剖面图。读图,完成3~4题。



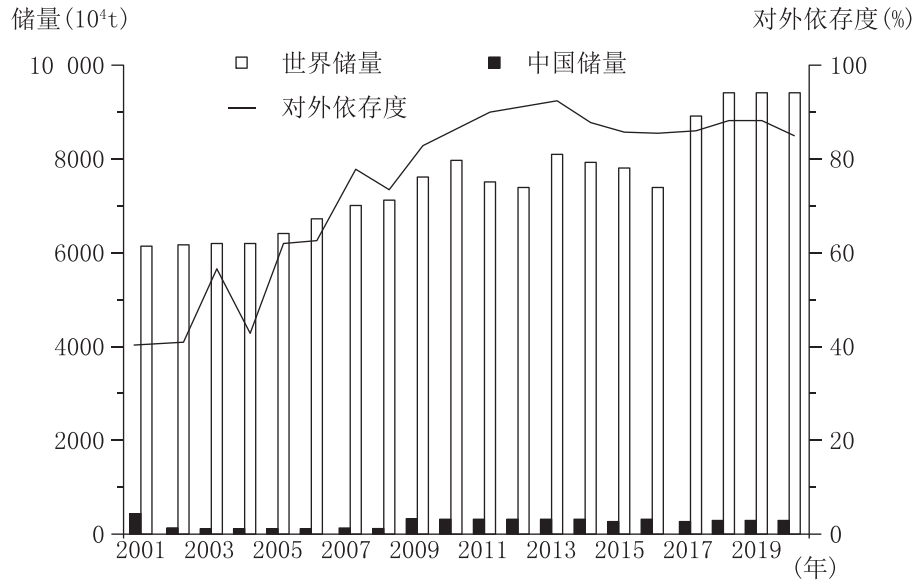
3. 图示地区 ()
- A. 甲处地貌形成受背斜影响 B. 地形起伏和缓,以丘陵地形为主
C. 中部地层新,两侧地层老 D. 白垩纪地层岩石由岩浆侵入形成
4. 图中P断层 ()
- A. 形成晚于侏罗纪 B. 形成陡崖地貌
C. 受水平张力形成 D. 右侧岩层下降

[2024·北京海淀区一模] 下表为国内某品牌连锁商超的四种业态模式对比表。读表,完成5~6题。

类型	甲	乙	丙	丁
定位	大型会员制商店	普通超市	便利店	折扣店
商品	日用、办公、食品、生鲜、餐饮等,高品质、大包装	生鲜、日用、餐饮熟食,包装大小适中	生鲜、日用、食品,以小包装、散装商品为主	生鲜、食品,以临近保质期或短保质期为主
销售模式	线上、线下相结合,提供会员专属服务与优惠	线上、线下相结合	线上、线下相结合	线下

5. 四种业态模式中,单一门店服务范围最大的是 ()
 A. 甲 B. 乙 C. 丙 D. 丁
6. 该品牌连锁商超同时发展四种业态模式的主要目的是 ()
 A. 固定消费群体 B. 满足多样消费需求
 C. 提升消费水平 D. 丰富商品经营种类

[2024·北京东城区二模] 镍是战略性新兴产业和低碳能源技术发展高度依赖的关键金属。下图为2001—2020年中国、世界镍资源储量及中国镍资源对外依存度统计图。读图,完成7~8题。



7. 由图可知,2001—2020年 ()
 A. 世界镍资源不断再生恢复
 B. 中国镍资源储量大致呈减少趋势
 C. 世界镍资源储量增加30%
 D. 中国镍资源对外依存度波动上升
8. 为了满足我国对镍资源的需求,可以采取的措施有 ()
 ①拓宽国际进口渠道 ②加大国内镍资源调配力度 ③延长镍资源产业链 ④提高回收利用技术
 A. ①② B. ②③ C. ③④ D. ①④

[2024·北京海淀区二模] 德国莱茵—鲁尔都市区具有多类、多级客运轨道交通网络体系。下表示意莱茵—鲁尔都市区主要轨道交通线路类型及特点。据此完成9~10题。

线路类型	速度(km/h)	发车间隔(min)	主要功能
甲	200~320	60/120	服务于都市区内、外大城市之间
乙	70~160	30/60/120	服务于主要城市与周边城镇之间
丙	40~80	10/20	服务于城区与郊区之间
丁	15~30	10	服务于城区

9. 该区域站点密度最大的线路类型是 ()
 A. 甲 B. 乙 C. 丙 D. 丁
10. 完善的轨道交通网络体系的主要影响是 ()
 A. 促进物流产业集聚 B. 加快自然资源开发
 C. 形成多中心城镇体系 D. 促使城市职能同质化

[2025·北京朝阳区一模] 大气本底监测站是在大气不直接受人为污染影响、混合均匀的环境下监测全球大气平均状况的站点。青海省瓦里关站是我国首个全球大气本底监测站,地处无人区平均海拔超过3800米的山顶,年平均气温低于0℃。建站30多年来,瓦里关站持续观测大气成分变化,为相关研究提供数据支持。据此完成11~12题。

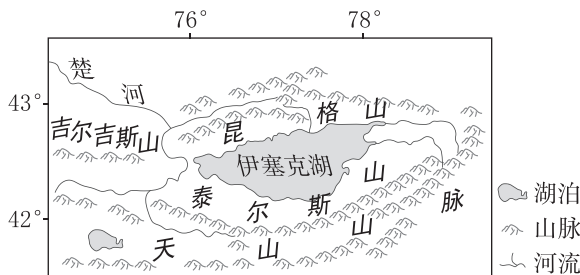
11. 在瓦里关建设全球大气本底监测站的主要条件是()

- A. 空气稀薄,大气流动性差
- B. 交通运输发达,方便运送科研物资
- C. 人类活动少,工业污染小
- D. 当地气温可代表全球大气平均温度

12. 瓦里关站全球大气本底监测数据主要用于()

- A. 研究西宁市的城市热岛效应
- B. 模拟华北地区陆地水体相互关系
- C. 改进全球气候变化预测模型
- D. 预测全球各地自然灾害发生频次

[2025·北京平谷区一模] 伊塞克湖是中亚最大的高山湖泊,也是世界上最深的湖泊之一,湖水终年不冻。湖泊所在盆地东西两侧年降水量差异大。下图为伊塞克湖示意图。据此完成第13题。

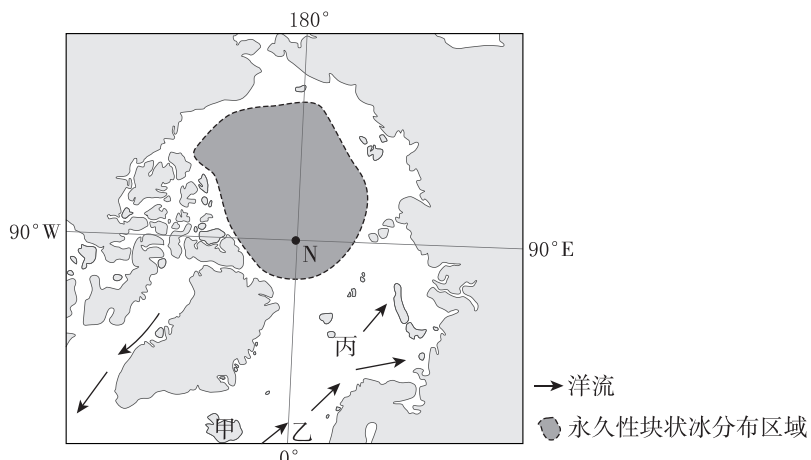


13. 伊塞克湖冬季不冻的原因是()

- ①湖泊水量大,降温幅度小
- ②深居内陆,气温年较差大
- ③湖水盐度高,不容易结冰
- ④山地阻挡,冬季风影响小

- A. ①②③
- B. ①②④
- C. ②③④
- D. ①③④

[2025·北京石景山区一模] 下图为北极及周边地区的区域图。据此完成14~15题。



14. 该区域()

- A. 甲地火山广布,地热资源丰富
- B. 乙洋流的形成与东风带有关
- C. 丙群岛地处东西半球交界处
- D. 极地冰原气候分布范围最广

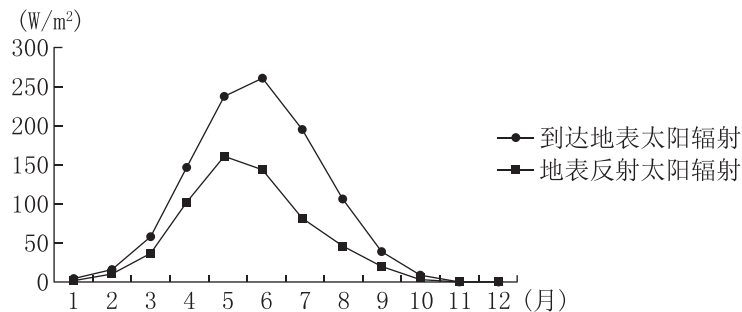
15. 永久性块状冰分布区域变小的影响是()

- A. 北冰洋表层海水盐度大幅升高
- B. 北极海洋吸收的太阳辐射减少
- C. 有利于北极航道的开发
- D. 改善北极熊的生存环境

限时标准练 5

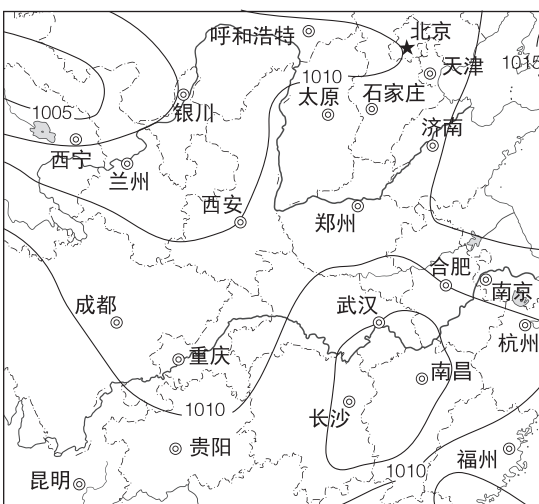
时间:30分钟 分值:45分

[2024·北京海淀区二模] 下图为北极海冰区域多年平均到达地表太阳辐射和地表反射太阳辐射逐月变化图。读图,完成1~2题。



1. 地面吸收太阳辐射最多的月份为 ()
A. 3月 B. 5月 C. 6月 D. 8月
2. 与5月相比,6月地表反射太阳辐射降低的原因最可能是 ()
A. 太阳辐射减弱 B. 白昼变长
C. 云量增多 D. 冰面面积减少

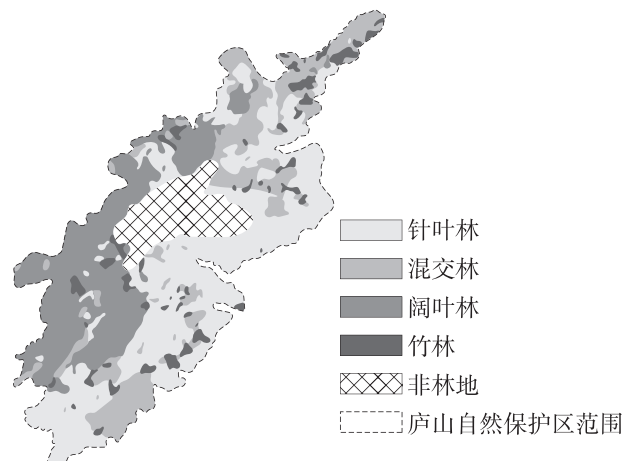
[2024·北京朝阳区二模] 强对流天气是指短时间内出现强降水、龙卷风、冰雹等现象的灾害性天气。大气中有一定的水汽,上干冷、下暖湿的垂直结构,以及上升运动是产生该天气的必要条件。每年3月前后,我国逐渐进入强对流天气的高发期。下图为2024年3月31日2时我国局部地区海平面气压分布图。读图,完成3~5题。



图例 ~1010~ 等压线(hPa)

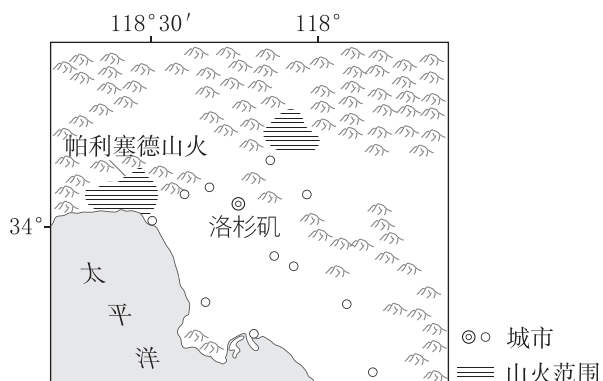
3. 当日最可能出现强对流天气的省级行政区是 ()
A. 苏 B. 滇 C. 赣 D. 晋
4. 每年3月前后我国逐渐进入强对流天气高发期的原因有 ()
①春季气温回升快,冷暖空气频繁交汇 ②锋面雨带已北上,空气中水汽含量增多 ③台风频繁登陆,提供水汽及上升动力 ④陆地低压逐渐增强,加剧水汽上升运动
A. ①② B. ①④ C. ②③ D. ③④
5. 应对强对流天气的正确措施是 ()
A. 室内人员应躲避在窗户边观察风雨
B. 加固渍涝风险较高的农田排水设施
C. 户外人员应当就近躲避于地下通道
D. 雷雨来临时迅速向临近开阔地转移

[2024·北京东城区一模] 江西省庐山国家级自然保护区植被覆盖度高达76%，保护区内生物多样性丰富。下图为2018年庐山自然保护区林地森林分类结果示意图。读图完成6~7题。



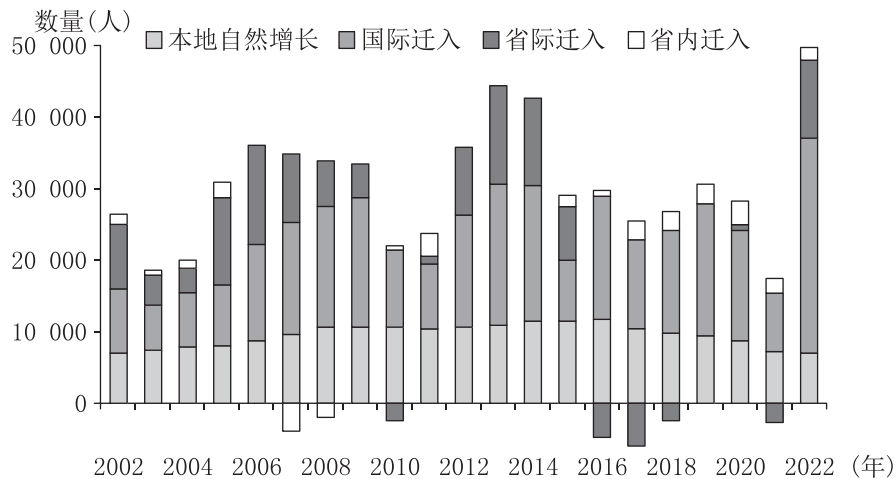
6. 庐山自然保护区 ()
- A. 针叶林分布面积大,与基带植被一致
 - B. 阔叶林分布东西差异大,集中在西部
 - C. 森林分布主要受降水的影响
 - D. 受森林植被影响,红壤广布
7. 建立庐山自然保护区的意义主要有 ()
- ①提高公众环境保护意识 ②有效减缓全球气候变暖 ③防风固沙,防止生态恶化 ④保护森林,维护生物多样性
 - A. ①②
 - B. ①④
 - C. ②③
 - D. ③④

[2025·北京通州区一模] 2025年1月,美国加利福尼亚州洛杉矶突发大规模山火并失控蔓延,火势凶猛,此次山火对当地地理环境产生了很大影响。下图为洛杉矶位置及山火分布图。读图,完成8~10题。



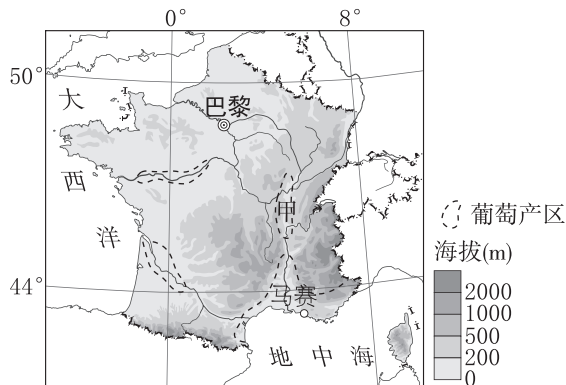
8. 帕利塞德山火突发区基带的典型植被最可能是 ()
- A. 常绿阔叶林
 - B. 落叶阔叶林
 - C. 常绿硬叶林
 - D. 亚热带荒漠
9. 此次山火发生的自然原因可能是 ()
- A. 沿岸暖流增温,空气对流运动强烈
 - B. 白天山风气流下沉,焚风效应显著
 - C. 该季节气温回升快,表层土壤干燥
 - D. 气候的异常,导致降水较往年偏少
10. 山火过后,短期内导致该地区 ()
- A. 枯枝落叶减少,土壤有机质减少
 - B. 植被蒸腾减弱,土壤含水量增加
 - C. 土壤不易被侵蚀,土壤肥力增加
 - D. 减缓基岩风化,土壤矿物质减少

[2024·北京海淀区二模] 20世纪40年代,加拿大卡尔加里发现丰富的石油和天然气资源,城市因此迅速发展,现已成为北美第二大能源中心,世界著名石油公司和投资银行均在此设有分支机构。2022年该市人口总量约161万。下图为2002—2022年卡尔加里人口增长数量变化示意图。读图,完成11~12题。



11. 2002—2022年,卡尔加里 ()
- A. 人口总量持续增长
 - B. 国际人口净迁入量始终最大
 - C. 一直为国内人口净迁入区
 - D. 人口自然增长量大于机械增长量
12. 推测图示时段卡尔加里人口变化的主导因素为 ()
- A. 国内资源储量
 - B. 省内人口政策
 - C. 国际经济环境
 - D. 城市环境质量

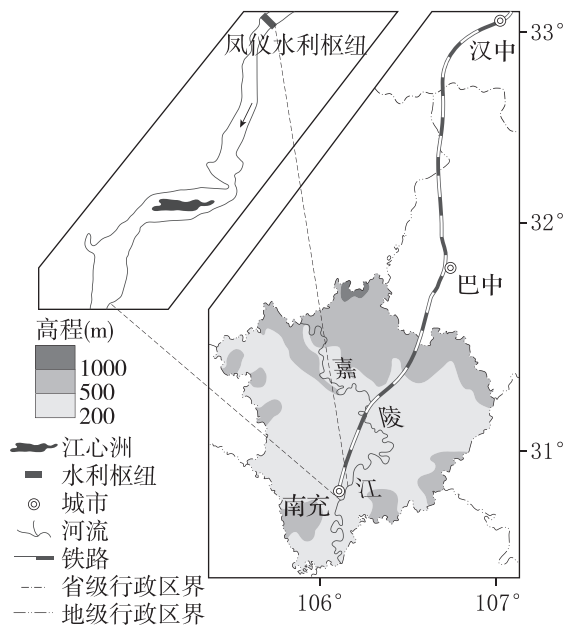
[2025·北京海淀区一模] 法国葡萄酒生产历史悠久,全球闻名。下图为法国地形及主要葡萄产区分布图。读图,完成13~15题。



13. 法国 ()
- A. 位于美洲板块和亚欧板块的生长边界
 - B. 终年盛行西北风,以海洋性气候为主
 - C. 受暖流影响,常绿阔叶林广布
 - D. 受地势影响,河流多注入大西洋
14. 甲葡萄产区主要种植生长周期短的酿酒葡萄,主要目的是 ()
- A. 提前采摘以实现错峰销售
 - B. 适应热量不足的自然条件
 - C. 靠近河流,引水灌溉
 - D. 改变熟制,提高产量
15. 各产区形成葡萄酒产业集聚,其主要条件有 ()
- ①原材料需求少 ②产业配套设施完善 ③劳动力价格低 ④地区品牌价值高
- A. ①③
 - B. ②④
 - C. ①④
 - D. ②③

每日一题练 1

(13分)[2025·北京顺义区一模] 某校中学生到四川省南充市开展研学活动。读下图,回答下列问题。



任务一 探地貌之变

2012年凤仪水利枢纽开始运行,每年汛期来临前该枢纽会集中泄洪。

(1)说明该水利枢纽对江心洲面积变化的影响。(5分)

任务二 析粮食之变

南充市是我国重要商品粮基地,农业发展中聚焦“土、种、肥、药”全要素,贯穿“耕、种、管、收”全环节,2024年南充市水稻单产创新高。

(2)列举当地提高水稻单产可能采取的农业技术措施。(5分)

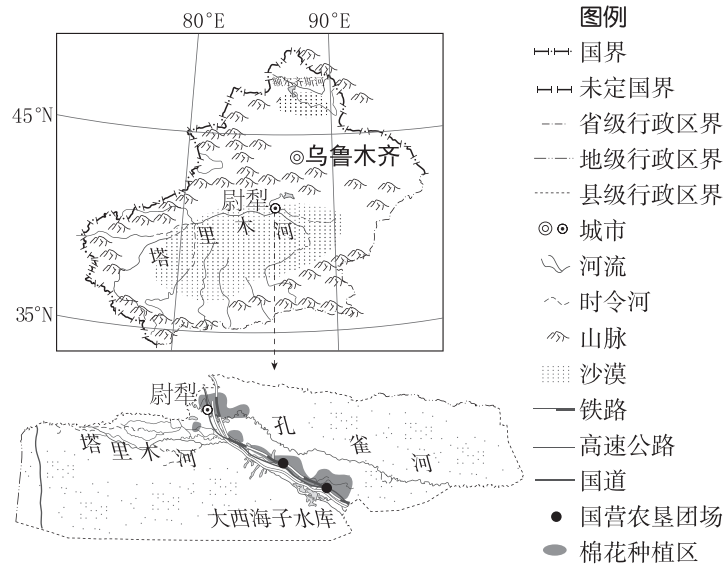
任务三 述交通之变

2024年6月27日,四川省内连接巴中市与南充市的巴南高速铁路开通运营,结束红色老区巴中市内无高速铁路的历史。该高速铁路向北可到陕西省汉中市,成为四川东北地区出川的一条重要通道。

(3)从不同空间尺度,概述巴南高速铁路建设对区域发展的意义。(3分)

每日一题练 2

(15 分)[2024 · 北京西城区一模] 尉犁县是我国重要的棉花生产基地之一,其棉花种植面积 100 余万亩(1 亩=1/15 公顷),机械化率达 90%。读图,回答下列问题。



(1)概述尉犁县棉花种植机械化水平高的地理条件。(4 分)

大西海子水库蓄水面积 68 平方千米,多年来水库所蓄水资源平均的利用效率仅为 30%~40%。2004 年,运行了多年的大西海子水库逐步退出农业灌溉系统,成为中国第一座专门提供下游河道生态用水的水库。

(2)简析大西海子水库水资源利用效率低的原因,并说明其功能转型的作用。(5 分)

膜下滴灌先在耕地表面覆盖地膜,并在膜下安装设施进行水肥一体化滴灌。近年,尉犁县大面积推广膜下滴灌的灌溉方式。

(3)说出采用膜下滴灌方式对当地土壤的影响。(6 分)